

# 华北鸵鳥蛋化石的新发现及其 显微结构的初步研究\*

安 芷 生

(中国科学院地质研究所)

中国的鸵鳥蛋化石，除其碎片分布地点多至难以統計外，較完整或完整的蛋化石也陆续有所报导，截至 1960 年至少有 71 个。此后有所发现，但尚无正式記載。P. R. 魯維 (Lowe) 1931 年将黃土和紅色土中发现的鸵鳥蛋化石归为安氏鸵鳥 (*Struthio anderssoni*)。1959 年楊鍾健教授等系統地討論了我国鸵鳥蛋化石的埋藏条件和地理分布，这对研究黃土的形成及其地层有重要的意义。据目前所知，以往研究的鸵鳥蛋化石地层层位多不清楚，极少附有地質剖面。至于蛋化石的显微结构研究則更为缺乏。

中国科学院地质研究所第四紀研究室曾在山西省五寨县收购到一个当地农民发现的鸵鳥蛋化石；河北省石家庄市黃壁庄工程局所属工程队也发现了两个鸵鳥蛋化石，其中一个地点曾經高維明同志进行了地質觀察。

現根据上述材料，进行了古生物学的鉴定，并对其显微结构作了初步的研究。文中附有馬鞍山鸵鳥蛋化石产地的地質剖面，可供今后研究的对比和参考。

北京自然博物館保存有三个完整的和一个較破碎的鸵鳥蛋化石，产地不明，未經記載。中国科学院古脊椎动物与古人类研究所也保存有一个最近发现的鸵鳥蛋化石，产自河北省邢台市。連同本文描述的三个并与前人記載的合并計算，現有的完整和較完整的鸵鳥蛋化石总数已达 79 个，較确切的分布地点增至 35 个。至于我国各地文化机构所保存的鸵鳥蛋化石還沒有列入其內。

本文是在刘东生先生亲自指导下完成的，楊鍾健、何作霖教授和周明鎮先生审閱原稿并提出宝贵意見；黃壁庄工程局贈送标本，北京动物园借給現代北非鸵鳥 (*Struthio camelus*) 蛋<sup>1)</sup>予以比較；景式范同志等代为摄制照片及繪图，謹此一并致謝。

## 安氏鸵鳥 (*Struthio anderssoni*) 蛋

标本 1：編號 QV63501 黃壁庄工程局采集。

**产地及层位** 河北省石家庄市黃壁庄村西，馬鞍山东南坡。上更新統(馬兰黃土)。

**化石描述** 該化石产于黃土中(图 1)。原为两个完整的蛋，其中一个已遺失。現描述的标本有一約 100 平方毫米的缺口，系发现时所损坏。

蛋壳的外表浅灰黃色。局部遭受溶蝕，表面粗糙。部分光滑，保存有外膜。表面上附有少許殘留的黃土，并有不規則的管状虫孔。在放大鏡下可見表面附有云母等矿物碎屑。

\* 2 月 8 日收到。

1) 此蛋发育不很正常，仅作参考比較之用。

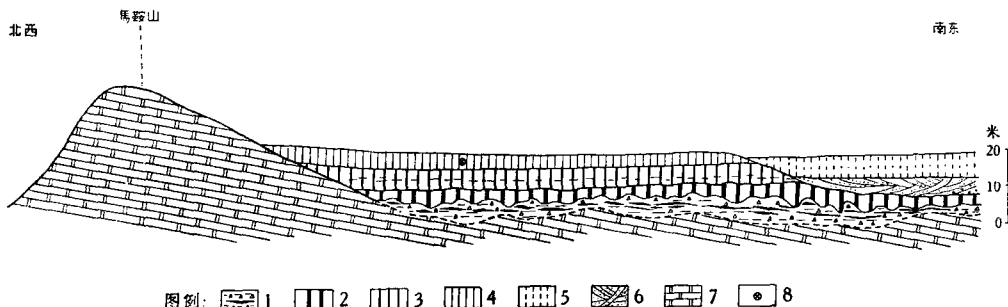


图1 石家庄市黄壁庄村西马鞍山东南坡含鸵鳥蛋化石示意剖面图(据吳子荣、高維明)

1. 砂质灰岩风化壳 2. 红色粘土 3. 棕红色黄土 4. 黄土 5. 次生黄土  
6. 交错砂层 7. 砂质灰岩 8. 化石产地

蛋为不对称椭圆形或卵圆形(Cassinian oval shape)。按其测量数据(表1)蛋的形状和大小与产于河北省行唐县陈庄镇和山西省临晋县的最大安氏鸵鳥蛋相近。但此标本长径(长, Length)(190毫米)略小,而短径(宽, Breadth)、短周(Short circumference)、长周(Long circumference)却较大,其形状指数(Shape index)为82。壳的厚度(Shell thickness)(2.24毫米)与陈庄镇蛋壳厚度(2.2毫米)相近,小于临晋县蛋壳的厚度(2.5毫米)。

壳表面气孔口长轴之排列平行于蛋之长径,在蛋壳的最大圆切面(短周)附近尤为明显。气孔口多密集于钝端(Blunt end)。

表1 新发现的安氏鸵鳥(*Struthio anderssoni*)蛋化石和现代北非鸵鳥(*Struthio camelus*)蛋测量数据表

編號	产 地	長径 (mm) (Length)	短径 (mm) (Breadth)	長周(mm) (Long circum- ference)	短周(mm) (Short circum- ference)	形状指数=短径·100 長径 (Shape index)	壳厚(mm) (Shell thickness)	产状
QV 63501	河北省石家庄市黄壁庄村西马鞍山东南坡	190	156	547	488	82	2.24	馬兰 黄土
QV 63502	河北省建屏县崗南大坝	187	151	537	482	81		
QV 55001	山西省五寨县山峦	181	152	526	483	84		馬兰 黄土(?)
	北非 (北京动物园借繪)	189	133	517	421	70	1.07	

标本2: 編號 QV63502, 黃壁庄工程局采集。

**产地及层位** 河北省建屏县崗南大坝。层位不明。

**化石描述** 为一完整的蛋。外表呈灰黄色,大部遭受溶蚀,表面粗糙呈凹斑状。表面附有少許似土壤物质。

形状也为不对称椭圆形或卵圆形。其大小(见表1)与山西省右玉县和河北省行唐县郗洼村之安氏鸵鳥蛋近似,相当于安氏鸵鳥蛋中之較大者。

气孔口周围受溶蚀形成小凹斑,其长轴之排列似平行于蛋之长径。

标本3：编号QV55001，当地农民采集。

**产地及层位** 山西省五寨县山岔。可能为上更新统(砂质马兰黄土?)。

**化石描述** 据说该化石产于砂质马兰黄土中，同时产出两枚。

为一完整的蛋，呈浅灰黄色。表面较光滑，局部遭受溶蚀外膜脱落。表面不附以任何土状物质。

蛋同样为不对称椭圆形或卵圆形。大小(见表1)相当于安氏鸵鸟蛋中之中等者。

上述三个蛋的形状、大小和壳厚与已知安氏鸵鸟蛋近似，各测量数据间的比例也未超出已知范围。在未作更多的研究前仍将其归于安氏鸵鸟(*Struthio anderssoni*)。

**讨论** 1. 蛋壳内壁附着物和蛋的埋藏条件。马鞍山东南坡蛋化石的壳内壁一部分光滑纯净，无附着物，为浅青灰色。与其相对之内壁上清楚见到附有薄层的粉粒状物质，明显地构成两个弧圈。其一近钝端为浅锈色，另一位于其上呈乳白色，皆似为蛋内液态物质干涸沉淀之遗迹。有趣的是浅锈色附着物的相应外壳表面光滑，未遭溶蚀。该部分四周却为粗糙的壳面。

在蛋壳表面这两部分上均附有虫孔。如果壳表面附着的虫孔代表土中生物活动的遗迹，那么这一蛋壳可能在埋藏前遭受风沙等侵袭而被剥蚀。其露出于地表部分形成粗糙面；接触地面的部分却得以保存完好的壳面。以后被土复盖，产生虫孔。这已由外壳面的光滑和粗糙部分均有虫孔予以佐证。自然，粗糙面也可能是蛋被埋藏后所形成的。这仅能说明流水自上至下淋滤，侵蝕蛋壳上部为主，蛋壳下部保存却较完好。

从蛋壳表面光滑和粗糙部分的位置以及虫孔分布特征不难看出，此蛋埋藏位置是钝端一面朝下，与地面接触。因此，其内壁发现相应的浅锈色沉淀物并非偶然，似为蛋内原始液态物质逐渐干涸形成。这由其上的乳白色物质具有向下淋滤痕迹而得以更好的证明。崗南和山岔的完整蛋化石内部无法观察，但外壳近钝端处总有一面保存良好，比较光滑，与上述推论并无矛盾。

当然，从此蛋原来发现时完整无缺，其中没有充填任何物质来看，此附着物可能是原来蛋黄和蛋白的残留物。它既不是外来的土状物质，也不同于山东莱阳恐龙蛋内由于携带钙质的地下水长期渗入沉淀而形成的大方解石晶体。不仅本文描述的其它两个蛋化石以其重量较轻而推知其为中空，并且据我们所知的安氏鸵鸟蛋化石亦多为中空。这皆反映了蛋被埋藏时及其后地下水位不高，流水活动不甚频繁。

综上所述，从完整蛋化石的埋藏特征，壳内壁附着物的性质及其配置，外壳面的剥蚀部位以及蛋内无外来物质的充填都说明鸵鸟蛋埋藏时期的气候比较干燥，并“与黄土水成之说是不相符合的”(杨、孙，1960)。

2. 地质意义。马鞍山东南坡蛋化石产自灰黄色、质地纯净无层理、疏松多大孔、垂直节理发育的粉砂质黄土中(见图1)，黄土层厚约三至五米。据高维明观察，于其附近此层黄土之下有一粗砾石层，两者界限分明，后者常构成河流二级阶地。与含鸵鸟蛋化石层相当的黄土常产于山坡、小丘上，也常超复于二级阶地的砾石相沉积之上。这种现象在太行山东麓较为常见。含鸵鸟蛋化石的黄土层之下有一棕红黄色黄土层，据吴子荣观察，可能相当于离石黄土上部。从岩性特征、层位关系及地貌位置来看，该含安氏鸵鸟蛋化石的

黃土相當于午城剖面中含鸵鳥蛋碎片的馬蘭黃土(晚更新世)。

楊鍾健、孫艾玲指出：“把安氏鸵鳥蛋化石當作第四紀黃土期和紅色土期的一個標準化石，絕非過甚其詞。”這從在黃土中不斷發現鸵鳥蛋得以証實。但一個有趣的事實是：中國北方第四紀河湖相地層中很少發現原生的鸵鳥蛋化石，所有的安氏鸵鳥蛋化石基本上皆產于黃土和紅色土中。這與劉東生提出的黃土沉積仍有間斷的說法不謀而合。使我們可能設想更新世時期安氏鸵鳥在中國北方黃土地區生存也未必是一直繁盛，可能有不宜于鸵鳥生存的時期。

楊鍾健等正確地指出，安氏鸵鳥生存時的氣候，為干燥而多風沙。據其統計，黃土與紅色土中產鸵鳥化石數目之比約為2:1。這說明更新世時中國北方氣候有逐漸變干的總趨勢。近年來，在馬蘭黃土中多有鸵鳥蛋化石的發現也更証明了這一點(劉、張，1962)。

檢視已知鸵鳥蛋化石地點，可見絕大多數皆沿中條山東南麓和太行山東麓(見圖2)一線分布。而在黃土高原區發現的却不多。雖然這還不能排除發現機率的人為因素，但我們認為或多或少地這也反映了太行山東麓水文網較為發育，氣候較黃土高原區濕潤一些，對鸵鳥的生存可能更為合宜。需要強調，這裡所指的古地理環境的不同，僅僅是指在总的乾燥氣候背景下的區域性差異。

### 鴕鳥蛋壳顯微結構特徵的初步研究

利用制取普通岩石薄片的方法，對河北省石家莊市黃壁庄村西馬鞍山西南坡的安氏鸵鳥(*Struthio anderssoni*)蛋化石切制了垂直于蛋壳表面(縱切面)以及大致平行于壳面之各不同层次(橫切面)的光学薄片。為了進行比較，對現代北非鸵鳥(*Struthio camelus*)蛋壳也切制了同样类型的光学薄片。薄片采取定向制作的方法，在偏光顯微鏡下進行觀察比較。

#### 馬鞍山安氏鸵鳥(*Struthio anderssoni*)蛋壳的顯微結構特徵

蛋壳平均厚2.24毫米，其結構和一般鳥蛋壳結構相似。在保存完好的剖面中，蛋壳

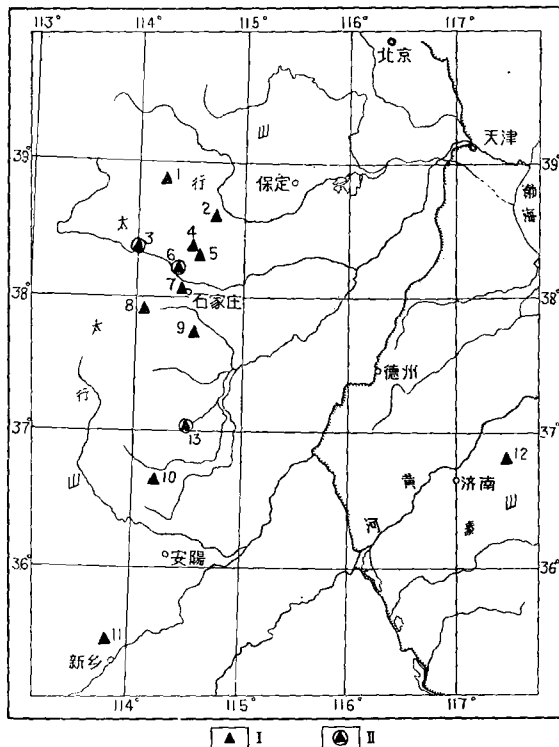


圖2 太行山東麓安氏鴕鳥蛋化石產地分布圖  
 I. 1960年前發現的完整或較完整之鴕鳥蛋化石產地，  
 II. 新發現的鴕鳥蛋化石產地  
 1. 阜平縣，2. 曲陽縣，3. 建屏縣崗南，4. 行唐縣鄧淮村，  
 5. 行唐縣，6. 石家莊市馬鞍山，7. 石家莊市，8. 井陘縣，  
 9. 元氏縣，10. 武安縣，11. 輝縣，12. 章丘縣，13. 邢台市

自内向外分作乳头层(Mammillary layer), 海绵质层(Spongy layer)和上膜(Cuticle)。各层垂直蛋壳表面呈迭复配置(图版II-2a, b)贯穿各层的气孔道(Pore canals)在薄片中仅能见到一部分。

蛋壳中主要矿物成分为方解石( $\text{CaCO}_3$ ), 呈微晶或粒状结晶体。单偏光下无色, 阔突起显著, 具菱形解理。干涉色为高级白, 负一轴晶。No =  $1.658 \pm 0.002$  (采用海绵质层中矿物碎屑测定)。磷酸盐类矿物镜下未见。镜下并可见无消光现象的灰黑色间质(Matrix)构成蛋壳的格架。

化学成分以碳酸盐为主<sup>1)</sup>, 达 80%, 绝大多数皆为碳酸钙。有机质(构成间质)占 1.1%, 灼烧时( $700^{\circ}\text{C}$ )失重 29.7%。

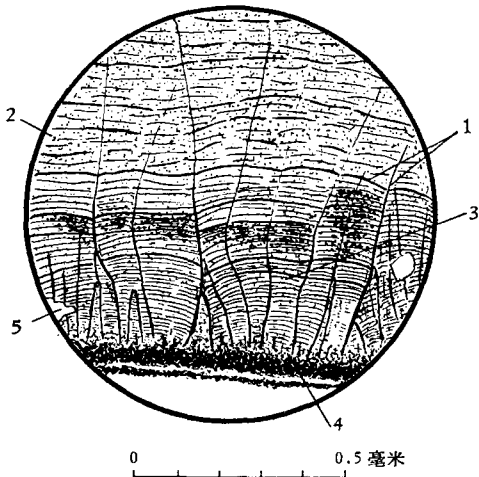


图 3 安氏鸵鸟(*Struthio anderssoni*)蛋壳乳头层的纵切面(单偏光)(马鞍山标本)

1. 间质 2. 斑点 3. 乳头体 4. 乳头体基部 5. 空隙

头层上部平行切制的薄片中(见图版III-1)发现间质网脉较下部减少, 但仍呈不规则之网状。其间粒状方解石晶体较下部粗大(达 0.10—0.20 毫米±), 方解石晶体之间仍有不规则的空隙。

纵切蛋壳的薄片中看到每一乳头体中间质网脉微呈放射状向上伸长。并具有间质构成的平行蛋壳表面的密集弧形层, 各层色之深浅不尽相同。底部弧形层色较深且密集, 向上较为稀疏, 逐渐过渡为断续之弧度较小的层状层, 灰黑色斑点却增多。

值得注意的是有许多细小方解石晶体具有同一消光位。其光性方位一致, 正交镜下似为一柱状大晶体, 测得其光轴方向与乳头体向上伸长方向接近, 仍呈一定角度。

## 2. 海绵质层(Spongy layer):

本层由灰黑色间质构成层格架, 其间生长方解石微晶。厚 1.01 毫米, 较乳头层稍薄。

下部与乳头层为过渡接触, 纵切面上间质略呈弧形, 向上密度减小变为真正的层状

1. 乳头层(Mammillary layer)(见图 3):  
由一层紧密排列的呈倒圆锥形的乳头体(Mammillae)构成。乳头体之间存在空隙(见图版 III-3), 空隙往往与上部孔道相联。乳头层厚 1.16 毫米, 约占蛋壳总厚的 1/2。基部较宽(0.2—0.3 毫米)(见图 3), 因而乳头体的密度则相对减小(2.5 个/毫米)。乳头体中方解石呈粒状结晶, 较疏松, 易剥落。

乳头层底部间质含量高, 灰黑色, 向上逐渐变浅。位于乳头层近底部横切的薄片中观察到间质形成网络状细脉, 在次级网络状细脉间充填方解石(见图版 III-3)。在中倍镜下方解石晶体多呈楔形、三角形及多角形等不规则形状, 粒径约 0.02—0.03 毫米, 其明显地受着间质细网脉的控制(见图版 III-3)。乳

1) 据本所十室地化组分析。

层(图4)。再上则逐步过渡为有垂直蛋壳表面的间质细脉穿叉的层状层，纵切面上呈不规则的细网格(图5)。每一层之深浅有所差异，有数层色调较深。海绵层中灰黑色斑点不均匀分布，镜下呈云雾状。本层三部分厚度大体相同，并看到气孔道上下方向伸长。

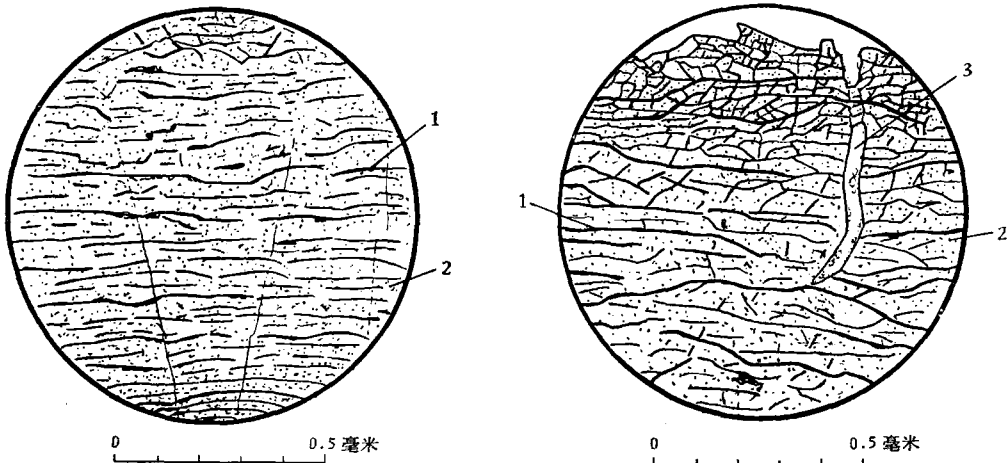


图4 安氏鸵鳥蛋壳海綿質層下部的縱切面  
(单偏光)(馬鞍山标本)

1.間質 2.斑点

图5 安氏鸵鳥蛋壳海綿質層上部的縱切面  
(单偏光)(馬鞍山标本)

1.間質 2.斑点 3.气孔道

在下部乳头体向上延伸的范围内，海绵层中方解石微晶消光位往往和下部乳头体中相联部分一致。海绵层本身具有大约同一消光位。

### 3. 上膜(Cuticle)(图6):

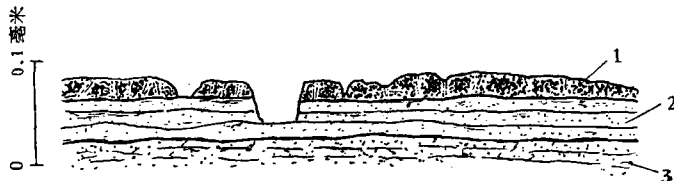


图6 安氏鸵鳥蛋壳的上膜(单偏光)(馬鞍山标本)

1.上膜 2.似上膜(?) 3.海綿質層

因受溶蚀仅断续保存，厚 $0.03 \pm$ 毫米。上膜凹口处常为气孔口。

单偏光下透明，呈亮白色。其上布以深色斑点。它的干涉色和消光程度可与下伏海绵质层相区别。在此层之下有 $0.04-0.05$ 毫米的亮白色透明层，其特征似与上膜相似。

### 4. 气孔道(Pore canals):

气孔道垂直蛋壳表面排列，在薄片中常呈弯曲细管状。孔壁不平滑似有被溶蚀现象。孔内常充填细粒方解石碎屑(见图5)。

气孔道横切面多呈不规则椭圆形(见图版 II-3)，据镜下统计，其长轴一般为 $0.05 \pm$ 毫米，短轴为 $0.03 \pm$ 毫米。其大小不很均一，这在海绵层上部尤为明显。

气孔道常成群分布。按定向薄片观察结果，孔道横切面之长轴方向大致平行于蛋的

长径，与肉眼观察结果一致。据统计，气孔之密度为  $1.6 \pm 1$  个/平方毫米<sup>1)</sup>。

### 现代北非鸵鸟(*Struthio camelus*)蛋壳的显微结构特征

蛋壳结构与化石蛋壳基本相似。主要矿物成分为方解石( $\text{CaCO}_3$ )， $\text{No} = 1.657 \pm 0.002$  (采用海绵质层中矿物碎屑测定)，仍呈微晶，粒状晶体。由间质构成格架。唯有下列特点：

1. 蛋壳较薄，厚 1.07 毫米(图版 II-1a, b)。
2. 乳头层高度占总厚度的  $1/3$  弱(0.36 毫米)，倒圆锥形乳头体既低，基部又窄，乳头体间空隙增多。乳头体之密度为 4.3 个/毫米。乳头体色较化石蛋壳为深，似示间质含量多。乳头体中由间质构成的弧形层密度较小。乳头体基部呈同心圆放射状生长尤其明显(见图版 III-4)，每一同心圆半径为  $0.10 \pm 0.01$  毫米，向上间质网脉逐渐加厚故成楔状三角形，粒径为 0.09—0.04 毫米(见图版 III-2)。其间仍有空隙。
3. 海绵质层厚度相对增大(0.66 毫米)，大于乳头层。与乳头层界限分明。仍由断续之层状有机质构成格架，深浅有所不一。平行薄片中似见粒状方解石晶体消光现象明显(见图版 II-4)。
4. 上膜层中有垂直向的细空隙，顶部缺口明显。厚 0.045 毫米，保存较好。
5. 气孔道横切面大多为椭圆-圆形，长轴一般为 0.05—0.17 ± 毫米，短轴 0.03—0.05 ± 毫米。最大孔径长轴达 0.34 毫米，短轴达 0.26 毫米。长轴定向性不明显。气孔密度较小，为  $0.6 \pm 1$  个/毫米<sup>2)</sup>。

**討論** 1. 安氏鸵鸟(*Struthio anderssoni*)蛋壳以下列特征与现代鸵鸟(*Struthio camelus*)蛋壳有显著的不同：较大的厚度，高而宽大的乳头体，多变化的海绵质层，上膜保存较差，气孔径较小但密度大，间质含量较少，方解石化更为显著。

2. 现代和化石蛋壳中，方解石晶体的光轴虽与壳表面不完全垂直，但大体为上下方向，这与晶体沿其高次对称轴生长的一般规律相符。

值得注意的是在蛋壳的纵切面中，尤其是在海绵质层中可看到大致分为两组交叉结构的方解石(见图版 II-2b)。一组消光角较大，向左倾斜为  $18^\circ \pm$ ，另一组向左倾斜的消光角为  $12^\circ \pm$ 。说明方解石晶体的光轴并非直立，而与壳平面的垂直方向呈  $10—20^\circ$  的倾斜。这也由横切面中方解石晶体的歪心光轴干涉图得以证明。上述表明，具有向上伸长的结晶轴 C 的方解石晶体在蛋壳中可能呈倒圆锥体状的排列。至于其具体排列模式得由深入的岩组学工作才能求得。

综上所述，我们试图恢复安氏鸵鸟蛋壳的立体结构。蛋壳内间质构成格架，钙质则充填于其内。下部紧贴蛋壳膜为一不很规则的倒圆锥形蜂窝体紧密连结成层，体间存有空隙，常与上部孔道相连。镜下所见数十层具外凸之弧形间质层构成隔板状。蜂窝体中小蜂窝似呈同心圆状排列，其中填以方解石晶体。蜂窝体底部作为生长基点间质含量高，向上逐渐扩散，蜂窝间距增大。上部海绵质层中间质层与微晶方解石聚集体相间构成层状体。其间有少量竖直网脉亦成隔板状。并观察到上下方向分布的弯曲气孔道一直通向顶

1) 薄片取自蛋壳最大圆切面附近近钝端处。

2) 薄片取自蛋壳之最大圆切面附近。

部較薄的上膜。

### 参 考 文 献

- 刘东生、张宗祜, 1962: 中国的黃土。地質学报, **42** (1): 1—14。  
 楊鍾健, 1937: 中国之鸵鳥蛋化石。地質論評, **2** (3): 267—272。  
 ———, 1947: 安氏鸵鳥之新发现。地質論評, **12** (3—4): 159—161。  
 ———, 1952: 記平原輝县新出土的鸵鳥蛋。科学通报, **3** (6): 404—405。  
 ———, 1954: 山东萊阳蛋化石。古生物学报 **2** (4): 387。  
 楊鍾健、孙艾玲, 1960: 中国鸵鳥蛋化石的新发现和其在地层上的意义。古脊椎动物与古人类 **2** (2): 115—119。  
 陝西省文管会, 1955: 陝西乾县發現古代動物蛋化石。中国古生物学会訊(8): 28—29。  
 Andersson, J. G., 1919: Dragon-Hunting in China. Far Eastern Review Nov. 1919. p. 707—710.  
 Andersson, J. G., 1923: Essays on the Cenozoic of Northern China. Mem. Geol. Surv. China Ser. A. No. 3.  
 Eastman, C. R., 1898: On remains of *Struthiolithus chersonensis* from Northern China. Bull. Mus. Comp. Zool. Harvard College. 32 (7).  
 Lowe, P. R., 1931: Struthious Remains from Northern China and Mongolia; with descriptions of *Struthio Wimani*, *Struthio anderssoni* and *Struthio Mongolicus*. spp. nov; Pal. Sin. C. 6(4):1—47.  
 Romanoff, A. L., and Romanoff, A. J., 1949: The Avian Egg, New York.  
 Young, C. C., 1933: On the New Find of Fossil Eggs of *Struthio anderssoni* Lowe in North China, with Remarks on the Egg Remains Found in Shansi, Shensi and in Choukoutien. Bull. Geol. Soc. China. **12** (2): 145—152.  
 Ян Чжун-цзянь, Сунь Мэн-линь, 1959: Новые находки ископаемых страусов в Китае и их стратиграфические значение. Труды комиссии по изучению четвертичного периода. Т., XIV, CC, 124—127.

## НОВЫЕ НАХОДКИ ИСКОПАЕМЫХ ЯИЦ СТРАУСОВ В СЕВЕРНОМ КИТАЕ И ИХ ПРЕДВАРИТЕЛЬНОЕ МИКРОСТРУКТУРНОЕ ИЗУЧЕНИЕ

Ань Чжи-шэнь

(Институт Геологии АН Китая)

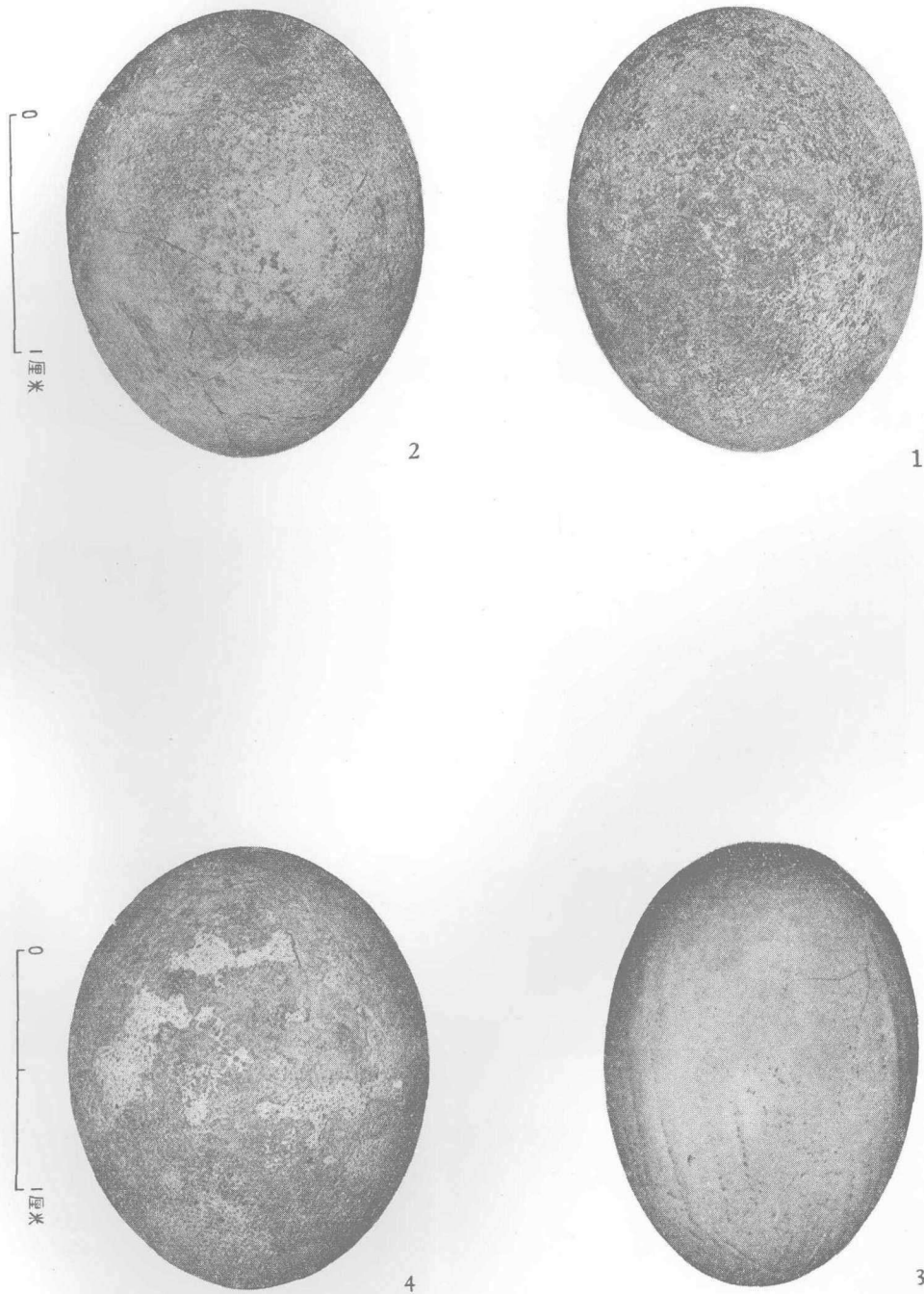
В данной статье описаны три целых скорлупы яиц страусов, найденной на юго-восточном склоне горы Мааньшань к западу от п. Хуанбичжуань вблизи г. Шитячжуань провинции Хэбе, у п. Гоньнань у. Цзянлин провинции Хэбе и у п. Санца у. Уцзэ провинции Саньси. Два яйца страусов были найдены в маланском хунту (лессе) позднеплейстоценового возраста, другое, встреченное в п. Гоньнань, в отношении залегания неизвестно. По форме, размеру и толщине скорлупы эти яйца очень похожи на яйца страусов Андерсона (*Struthio anderssoni*) и мы условно относим их к страусам Андерсона (*Struthio anderssoni*).

Внутренняя полость вышесказанных яиц не была заполнена никаким внешним веществом. Такое же явление наблюдается и в яйцах (*Struthio anderssoni*), найденных раньше. Это говорит о том, что в то время, когда отложения с скорлупами яиц страусов формировались, уровень подземной воды очень низким. Далее, если мы обратим внимание на прилипшие к внутренней стенке скорлупы вещества, которые похожи на остатки желтка и белка, то не трудно понимать, что яйца *Struthio anderssoni* были погребены в периодах с сухим климатом и более сильным ветром. Следовательно, как проф. Ян Чжун-цзян указал, что нахождение целых яиц страусов в лессах явно противоречит предположению водного происхождения последних.

Интересно отметить, что до сих пор большая часть из найденных яиц страусов приурочена к юго-восточному предгорью хр. Чжутяошань и восточному предгорью хр. Тайханшань, а на лессовом плато они очень редко встречены. Этот факт, повидимому, говорит о том, что в то время восточное предгорье хр. Тайханшань обладало более густой гидрологической сетью и более влажным климатом, которые благоприятствуют существованию страусов. Однако, вышеизложенное лишь доказывает, что при общем фоне с сухим климатом палеоклиматическое обстоятельство восточного предгорья хр. Тайханшань более или менее было отличено от лессового пласта.

Структура скорлупы яйца *Struthio anderssoni* (в месте п. Мааньшань) была исследована нами под микроскопом. По сравнению с яйцом современного североафриканского страуса (*Struthio camelus*), сохранившим в Пекинском Зоопарке, скорлупа яйца *Struthio anderssoni* имеет большую толщину, более толстую сосочку с широким<sup>1</sup> основанием, более сложный губчатый слой и большую густоту пор.

Подавляющий составной минерал скорлупы яйца состоит из кальцита. По оптическим свойствам кристаллов кальцита мы знаем, что в сосочком слое кристаллы кальцита радиально расположены, а в губчатом слое оптические оси (крристатические оси С) кристаллов кальцита не расположены в перпендикулярном к поверхности скорлупы яйца направлении, а образуют угол меньше  $45^{\circ}$  с этим направлением. Причем такое свойство, обладающееся скорлупами современного и ископаемого яиц, сохраняется неизменным в процессе окаменения.

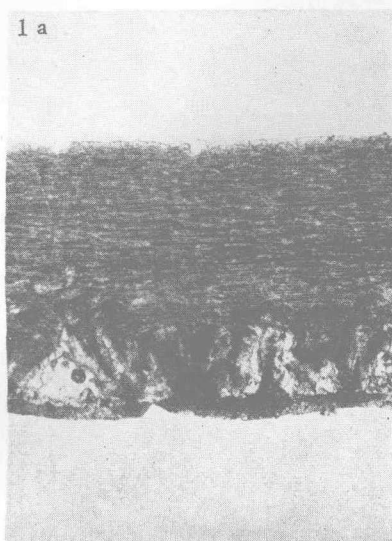


1. 安氏鸵鳥(*Struthio anderssoni*)蛋化石(河北省建屏縣崗南)。  
2. 安氏鸵鳥(*Struthio anderssoni*)蛋化石(河北省石家庄市黃壁庄村西馬鞍山东南坡)。  
3. 現代北非鸵鳥(*Struthio camelus*)蛋(由北京動物園提供)。  
4. 安氏鸵鳥(*Struthio anderssoni*)蛋化石(山西省五寨縣三岔)。

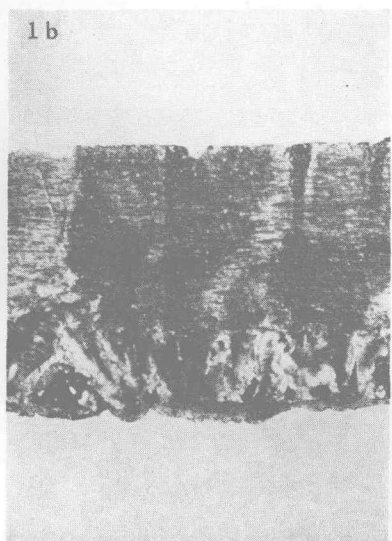
## 图 版 II 說 明

1. 北非鶲鳥(*Struthio camelus*)蛋壳的縱切面(由北京动物园提供,下同)。
  - 1a. 单偏光,  $\times 33.5$
  - 1b. 正交偏光,  $\times 33.5$ 。
2. 安氏鶲鳥(*Struthio anderssoni*)蛋壳的縱切面(馬鞍山标本,下同)。
  - 2a. 单偏光,  $\times 33.5$ ;
  - 2b. 正交偏光,  $\times 33.5$ 。
3. 安氏鶲鳥(*Struthio anderssoni*)蛋壳海綿質層的橫切面,显示气孔的定向排列(单偏光,  $\times 33.5$ )。
4. 北非鶲鳥(*Struthio camelus*)蛋壳海綿質層的橫切面,显示方解石晶体的消光現象(正交偏光,  $\times 33.5$ )。

1 a



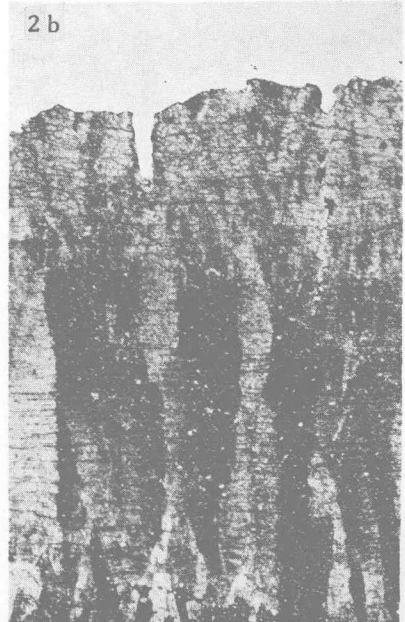
1 b



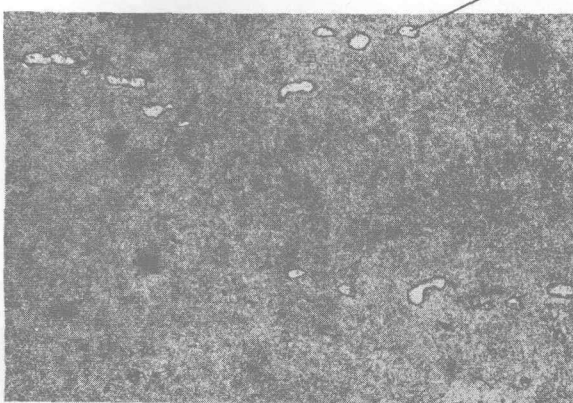
2 a



2 b

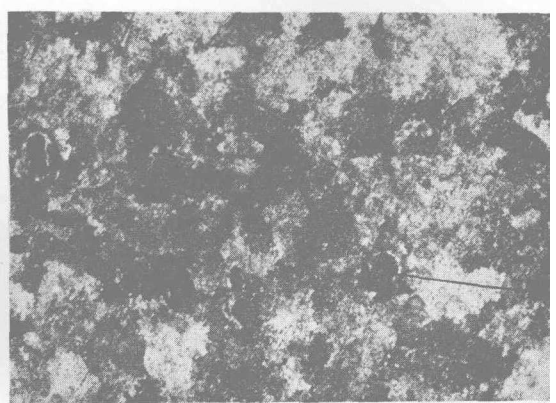


3



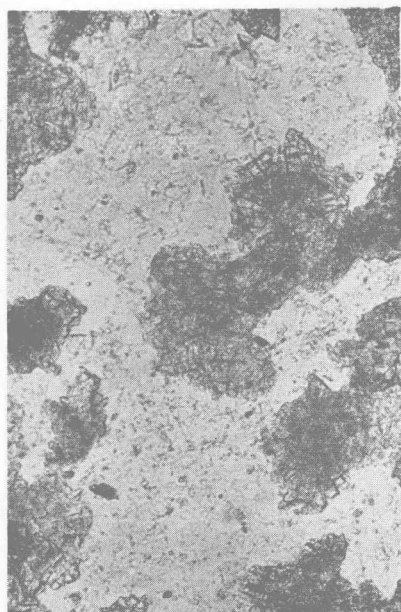
气孔

4

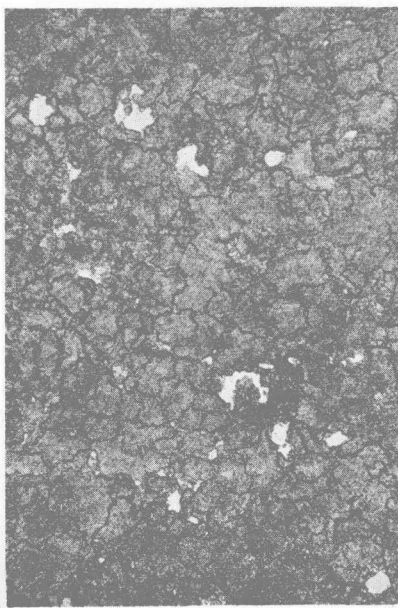




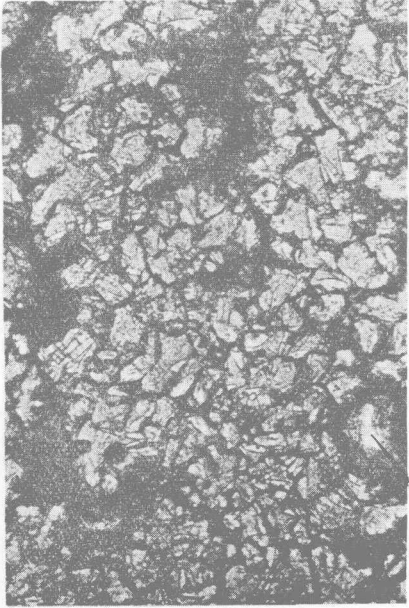
2



4



1



3

1. 安氏鸵鳥 (*Struthio anderssoni*) 蛋壳乳头层上部的横切面(单偏光,  $\times 33.5$ )。  
2. 北非鸵鳥 (*Struthio camelus*) 蛋壳乳头层中部的横切面, 显示呈楔状三角形的間質(单偏光,  $\times 108.5$ )。  
3. 安氏鸵鳥 (*Struthio anderssoni*) 蛋壳乳头层下部的横切面, 显示乳头之間的空隙以及楔形間質(单偏光,  $\times 108.5$ )。  
4. 北非鸵鳥 (*Struthio camelus*) 蛋壳乳头层基部的横切面, 显示間質呈同心圓放射狀排列(单偏光,  $\times 108.5$ )。

空隙